

東京大学工学部 正員 玉井信行  
東京大学大学院 学生員 ○茂枝 隆

1 まちがき 密度成層中での境界面を通じての混合については振動格子による実験などがあり、擾乱が大きな復割をすることが知られている。ここで底板の水平振動により擾乱を起し、1. その擾乱の性質と混合の関係を明らかにした。

2 実験及び実験方法 実験は図-1に示すような長さ4m、幅0.2m、高さ0.5mの水槽の底に5mm角の粒粗度をつけた摺動板を置き、それを周期的に滑動させて行った。粗度間隔は初め開水路流れを参考に中心間隔を粗度高さの10倍と1た。しかし2~5秒の周期では亂れのスケールが小さく間諱的になるので、粗度間隔を1.7cmとした。摺動板の振幅は7.5cmで一定とした。また上部境界は固定壁と1つ波動を抑えた。濃度分布の測定は電導度計により、流速測定は熱膜流速計によった。水槽内の水温は17.5~18.5°Cでほぼ一定であった。初期水理条件は表に示す。

3 混合層の濃度分布 摺動板により擾乱を加えると粒粗度付近は激しく攪拌され不連続成層の場合でも連続成層の場合でも鉛直方向に一様な濃度分布を示すようになる。しかし安定な濃度勾配が存在するためこうした乱れは急速に上方に伝わらない。そして新たに出現した混合層とそれより上部の領域との間の勾配は当初のものより急になり、安定化が進む。引続いて摺動板を振動させると以後はほぼ同様な濃度分布形を保ちながら界面が徐々に上昇する。(図-2)界面附近には内部波が発生し、これに基づくと考えられる濃度変動が観測された。

しかしこの変動はかなり不規則な成分を含んでおり内部波の不安定性を示している。実験条件から算定すると Väistölä 振動数の最大値は  $N_m = 3 \text{ sec}^{-1}$  であり周期は5sec程度以下だから、波長/波高  $\alpha$  の比は  $\alpha/\lambda > 0.13$  となり内部波の剪断型の不安定限界を越もっている。

4 粒粗度による乱流特性 粒粗度の運動により上部流体塊との間に非常に大きな速度差ができるときに渦動が発生する。平均的な移流がないためその渦動は同一の場所にとどまっているが、その間に次の渦動が発生すると全域があらゆる程度強い擾乱に覆われるようになる。従って渦領域内の粒粗度頂上より1cm以内では激しい速度変動を示し、界面の1cm付近では間隙

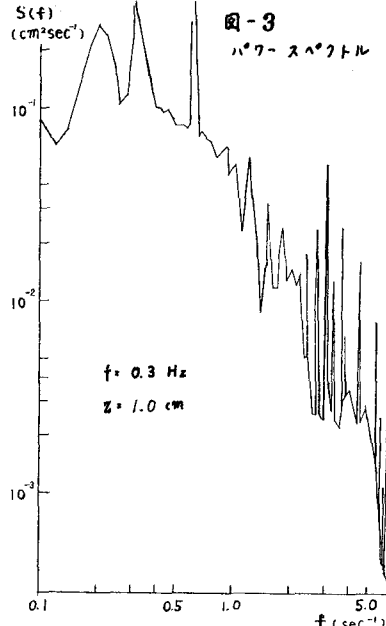
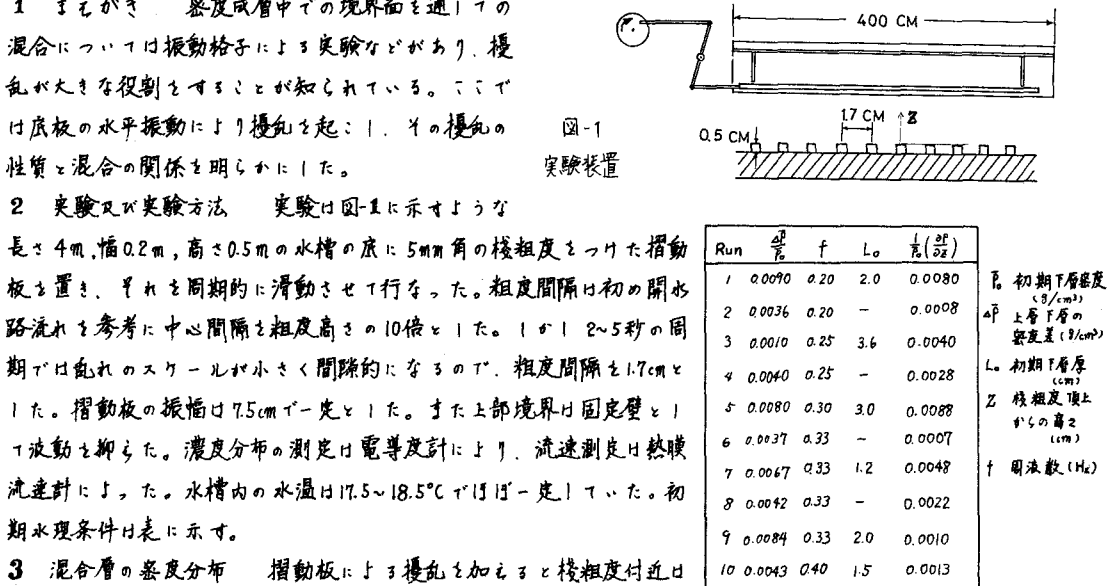


図-3 パワースペクトル



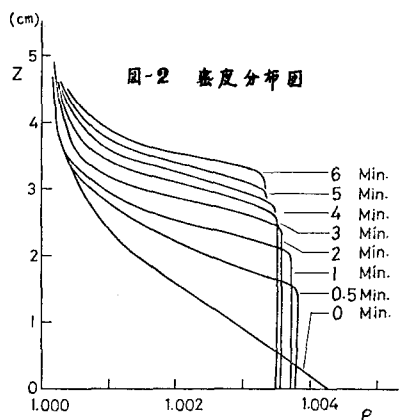
Run	$\frac{f}{f_0}$	$L_0$	$\frac{\delta}{\delta_0}$	P. 初期下層密度 ( $\text{g/cm}^3$ )
1	0.0090	0.20	2.0	0.0080
2	0.0036	0.20	-	0.0008
3	0.0010	0.25	3.6	0.0040
4	0.0040	0.25	-	0.0028
5	0.0080	0.30	3.0	0.0088
6	0.0037	0.33	-	0.0007
7	0.0067	0.33	1.2	0.0048
8	0.0042	0.33	-	0.0022
9	0.0084	0.33	2.0	0.0010
10	0.0043	0.40	1.5	0.0013

AP 上層下層の  
密度差 ( $\text{g/cm}^3$ )

Lo 初期下層厚  
(cm)

Z 粒粗度頂上  
からの高さ  
(cm)

f 周波数 (Hz)



的になり  $3\text{cm}$  以高では主流の減衰期の高周波の乱れを除いてほぼ周期的になる。図-3にパワースペクトルを示す。摺動板により生じられた周波数の部分及びカスケードダウンによって生じたと思われる整数倍周波数のところに線スペクトル的なピークがみられる。この線スペクトル的部分は振動に近い状態のものであるから、流速変動よりこの周波数成分を取り除いて R.M.S. 速度を求める周波数との比があらわしたのが図-4 である。この図より R.M.S. 速度は周波数にはほぼ比例していることがわかる。

### 5 混合速度 平均的な剪断抵抗がなじむ混合によるボン

シンシャルエネルギーの増加は境界面に達する運動エネルギーに比例すると

$$\frac{1}{2} P_0 \overline{U^2 w'} = \frac{dV}{dt} \quad (1)$$

ここで  $P_0$ : 下層密度,  $\nabla$ : ポテンシャルエネルギー  $U' \sim u'$  とする

$$\frac{3}{2} P_0 \overline{U'^3} = \text{const.} \times \frac{dV}{dt} \quad (2)$$

境界層下端の高さを  $L$ , 上端の高さを  $D$  とする密度分布を

$$P_0 \quad 0 \leq z \leq L; \quad P_0 + \frac{dp}{dz}(z-L) \quad L \leq z \leq D \quad (3)$$

とし  $\frac{dD}{dt} \ll \frac{dL}{dt}$  ( $L+D$ )/2  $\approx L$  と仮定すると式(3)より

$$\frac{U_e}{U'} = \text{const.} \times R_i^{-1} \quad (4)$$

ここで  $U_e = \frac{dL}{dt}$ ,  $R_i = \frac{g \Delta P L}{P_0 U'^2}$  である。このリチャードソン数のもとに整理したのが図-5 である。これをみると、 $\frac{U_e}{U'} = \text{const.} \times R_i^{-1}$  の関係が成立しているようである。この結果は、積分尺度とともに比例するとして Kato-Phillips, Moore-Long の剪断流中の実験結果、また Long の考察と同様な結果であるといえる。

### 6 結論 摺動板の振動により生ずる混合特性について基礎的な結果を得られた。

1) 摺動板の振動により基底一様の混合層が形成され界面の基底勾配時間とともに大きくなる。

2) ある高さでの R.M.S. 速度

は周波数に比例する。

3) 界面での混合速度は R.

M.S. 速度、一様密度の混合層厚を用いたリチャードソン数に逆比例することが得られた。

（参考文献）

R. Long, J. Fluid Mech (1975), vol 70

M. J. Moore & R. Long, J. Fluid Mech (1979), vol 49

P. F. Linden, J. Fluid Mech (1975), vol 71

H. Kato & O. M. Phillips, J. Fluid Mech (1969), vol 37

J. S. Turner, Buoyancy Effects in Fluids.

Cambridge Univ Press

図-4 R.M.S. 速度と周波数の比

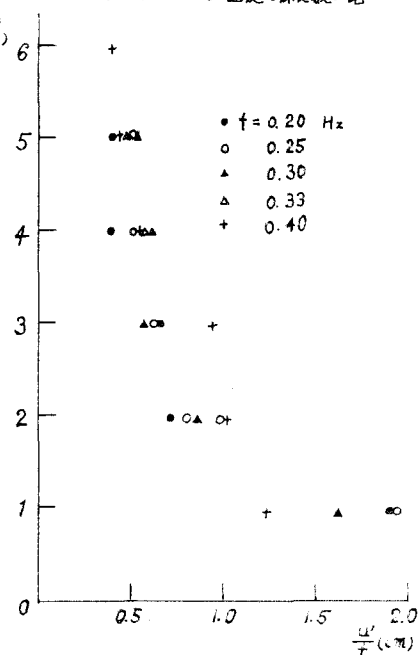


図-5 混合速度とリチャードソン数の関係

